

86.57  
GEZ

# 論桥梁拱上建筑与拱的 共同作用

[苏联] A. A. 盖尔卓格 著

殷 永 山 譯

人民交通出版社

86-575-8224

本書介紹各種體系拱橋模型的試驗結果。書內列有經驗公式和按虛擬拱法（與實際結構撓度等效的虛擬體系）的計算方法。利用書內公式可以對複雜的超靜定結構進行快速計算，並可供設計和試驗拱橋之用。

本書供科學工作者和工程技術人員閱讀。

## 論 橋 梁 拱 上 建 筑 与 拱 的 共 同 作 用

МИНИСТЕРСТВО ВЫСШЕГО И СРЕДНЕГО  
СПЕЦИАЛЬНОГО ОБРАЗОВАНИЯ РСФСР  
МОСКОВСКИЙ АВТОМОБИЛЬНО-ДОРОЖНЫЙ ИНСТИТУТ

А. А. ГЕРЦОГ.  
доцент, канд. техн. наук

### О СОВМЕСТНОЙ РАБОТЕ АРОК И НАДАРОЧНОЙ ЧАСТИ МОСТОВ

ИPO ДАННЫХ ОПЫТОВ НА ПЛОСКИХ МОДЕЛЯХ

НАУЧНО-ТЕХНИЧЕСКОЕ ИЗДАТЕЛЬСТВО  
МИНИСТЕРСТВА АВТОМОБИЛЬНОГО ТРАНСПОРТА  
и ШОССЕЙНЫХ ДОРОГ РСФСР  
Москва 1962

本書根據蘇聯汽車運輸與公路部出版社1962年莫斯科俄文版本譯出

殷 永 山 譯

人 民 交 通 出 版 社 出 版  
(北京安定門外和平里)

北京市書刊出版業營業許可証出字第〇〇六號  
新华书店北京发行所发行 全国新华书店經售  
人 民 交 通 出 版 社 印 刷 厂 印 刷

1964年5月北京第一版 1964年5月北京第一次印刷

开本：787×1092毫米 印張：21/2張

全書：50,000字 印數：1—3,700冊

統一書號：15044·1485

定价(科六)：0.34元

137837

## 目 录

前言	2
計算总則	3
实肩拱的計算	4
敞肩拱的計算	18
帶刚性梁的柔性拱的計算	55
結論	82

## 前　　言

一般地，对任意类型桥跨结构的拱桥（敞肩的或实肩的），为解决拱上建筑和拱共同作用所作的各种研究都未得到满意的結果。在这些推荐的方法中，有的过于复杂，因而实际上不能采用；有的基于某些假定，而这些假定又未必适用。某些解題方法只涉及到了拱上建筑（如敞肩拱桥）的計算，因为拱上建筑的工作条件比在普通計算方法中所考虑的更为繁重。在大多数情况，研究者对鋼筋混凝土敞肩拱桥的計算方法进行了研究。

根据对石拱桥、混凝土和鋼筋混凝土拱桥拱上建筑同拱共同作用的試驗数据之研究，以及作者用各种体系平面拱模型❶所作的試驗資料，可以寻求上述問題的一般性解答。

在計算敞肩拱或实肩拱桥时，除利用所謂虛拟拱之概念外，还可以采用作者根据試驗数据归纳提出的經驗公式。

利用所論方法可足够精确地設計超靜定拱桥，其中包括裝配式鋼筋混凝土桥，且比普通計算方法簡捷省力。目前裝配式鋼筋混凝土桥获得了巨大发展，这就决定了拟定并提出結構新計算方法的迫切性。

---

❶ 作者有关研究拱与拱上建筑共同作用的著作的第一部分“利用平面拱模型設計超靜定結構”一文，载于莫斯科公路学院科学通报第14号，汽車运输与公路部出版社，1958年。

## 計算總則

虛擬拱是一種剛性與實際結構等效的計算體系，實際結構則假定拱和拱上結構有共同作用。此時虛擬拱軸和實際結構軸線重合。虛擬拱的垂直厚度（高度）按下列原則確定，即假定實體截面的虛擬拱之截面慣性矩等於實際結構在垂直截面內所有構件的截面慣性矩之和。

虛擬拱的寬度採用常數。如實際拱的寬度不同，則虛擬拱的寬度  $b$  如同在拱頂截面一樣，可按適合於其它截面高度（厚度）變化的公式確定：

$$h_{np} = \sqrt{\frac{12I}{b}}$$

式中： $b$  和  $h_{np}$ ——虛擬拱橫截面尺寸；

$I$ ——實際結構在同一垂直截面內對某一軸之慣性矩，  
此軸通過考慮共同作用時的截面重心。

利用本書推薦之計算方法，需按如下順序進行：

- 1) 根據實際資料假定所設計的結構的主要尺寸；
- 2) 把實際結構的計算圖式變換成上述虛擬拱；
- 3) 確定虛擬拱的活載內力及溫度內力，以及由此造成的彎度；
- 4) 根據3)項所求數據和經驗公式，確定實際結構的拱和拱上結構各構件的內力；
- 5) 確定活載應力及溫度應力；
- 6) 計算由於拆除拱架和拱上建築發生作用的先後順序而在

实际结构构件内造成之恒载内力及应力，以及由此造成的挠度。

7) 编制实际结构构件计算截面中由于各种作用引起的应力总表以及总挠度。

上述顺序是计算任何类型拱桥的一般步骤。在所论计算方法中将不考虑结构的空间作用，也不考虑材料在恒载作用下的徐变现象。

## 实肩拱的计算①

实肩拱桥（混凝土或石砌上部构造）的拱脚部分可归并在薄壁结构类型内，因为这种上部构造的拱顶部分可视为曲杆，而其余部分则近似于墙：墙是高度 $h$ 比跨长 $l$ 大的构件。众所周知，计算薄壁结构（墙）时系假定 $\frac{h}{l} \geq 1$ ，而属于弹性力学的范畴。根据作者对上部构造的两种结构方式，即拱脚处设置和不设置（当小跨度时）伸缩缝时所获得的试验资料证明，对于所论情况，可以采用建筑力学的方法，把结构的全长近似地当作变截面拱来处理。但这里应该说明，这一结论只当表征桥梁特征的 $h$ 和 $l$ 符合上述比例关系时适用。

我们在计算时，把拱和拱上结构视为一种弹性模量不变的材料，并假定其受压和受拉效果相同，而与应力大小无关。

当拱和拱上结构所用材料不同时，考虑它们的弹性模量的差别是非常困难的，因为石砌结构和混凝土结构的 $E$ 值变化非常大，而且与应力大小和受压受拉的形式有关。因此，在计算

① 按此方法计算的资料见作者在1957年莫斯科公路学院第17次科学研讨代表会会议上的报告。

拱和拱上结构的共同作用时，第一次近似计算取  $E=$  常数。

虚拟拱法的基本任务之一，是确定这种拱的几何参数。下面介绍构成所论假定计算图式的一些资料，实际结构为跨长40米的实肩拱桥，采用两种标定方案。拱上侧墙宽1米，填充砌体为贫混凝土。实际结构的一个标定方案——拱脚上设置伸缩缝（图2中图式1）；而另一方案——拱脚上无伸缩缝（图2中图式2）。

确定图式1和2中虚拟拱之几何参数时必须：

- 1) 解决同繪制拱軸綫有关的一些問題；
- 2) 求断面沿结构长度的变化規律。

确定虚拟拱的軸綫。普通計算方法是已知拱軸綫及其断面变化規律，求结构輪廓。我們所用的方法則相反，是从拱的已知輪廓，用特殊的方法确定拱的軸綫。为了求出軸綫，必須了解拱的輪廓綫以內軸的法綫中点之几何位置。

虚拟拱的輪廓，不論是它的上界还是下界，都和实际结构的輪廓不符，就是当结构寬度为常数的情况下也不例外，因为虚拟拱的横断面假定为实体截面，其寬度則与模型寬度相当，而模型结构断面并非为实体矩形，而为反轉的Π型断面。

計算指出，不論拱上侧墙的类型和高度如何，虚拟拱的輪廓下界都与实际结构的輪廓下界接近而稍偏下方。图1为虚拟拱輪廓綫的构成，相应的实际结构为一铁路石拱桥，填充砌体为贫混凝土。虚拟拱的上界是与断面形式有关的折綫。

为了簡化計算，我們用平滑曲綫代替这条折綫。在所論情況中，虚拟拱采用和实际结构一样的輪廓下界，而上界为一水平直綫。水平綫在实际拱頂上端点以上通过，两者相距  $y=h_{np}-h_n=\sqrt[3]{\frac{12I_n}{b}}-h_n$ 。在更一般的情况下，可采用由折綫构成的輪廓上界。

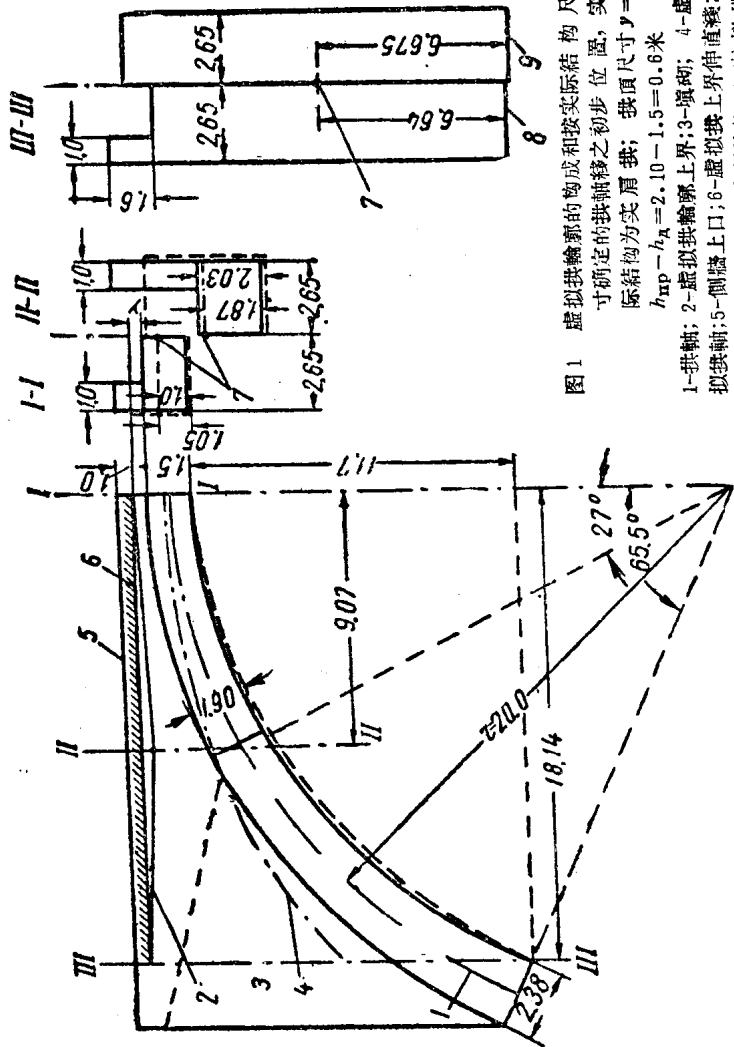


图1 虚拟拱架的构成和按实际结构尺寸确定的拱轴之初步位置，实  
际结构为实肩拱；拱顶尺寸 $y =$   
 $h_{\text{NP}} - h_A = 2.10 - 1.5 = 0.6 \text{ 米}$

确定了虚拟拱轮廓的上下界限和以垂綫之几何中点作为初步近似軸以后，再按前述确定軸綫的原則，求其更准确的軸綫位置。

为此可采用如下三种方法：（1）理論方法；（2）图解分析法；（3）图解法。

理論方法，当虚拟拱轮廓的上下界限可写成某一方程式的形式时，可采用理論方法。有了方程式，即可通过数学計算求出一条曲綫，使該曲綫的法綫将輪廓綫內图形等分，此即所求的軸綫方程式。

图解分析法，或称逐次漸近法，其原理是逐漸求出軸綫。利用此方法或給出輪廓上下界限方程式，或在結構图式上用图解法求得一些固定量。在所論例題，利用通过上述結構垂直截面重心所联曲綫作第一次漸近軸綫。如果取輪廓上界为水平綫，下界为圓弧，则第一次漸近軸綫为椭圓曲綫。作椭圓曲綫的法綫，求其和虚拟拱輪廓綫的理論交点。求出这些法綫的中点座标作为第二次漸近軸綫的点，再繪制第二次漸近軸綫的法綫，用同样的方法求出第三次漸近軸綫，等等。逐次漸近軸綫可用三个点的座标繪制成固定曲綫（所选的軸綫）的形式。

图解法，这是确定拱軸的最简单方法，內容如下：作虚拟拱輪廓下界任何点的法綫，然后通过这些点作輪廓上界的法綫。平分所求两法綫的夹角  $\varphi$ ，分角綫即为所求軸綫的法綫，取分角綫中点作軸綫上的点，这些点的几何位置就是所求的拱軸綫。图 2 系对桥跨結構两种标定方案的虚拟拱軸綫的确定法。对于图式 1，桥跨結構沿实际結構起拱綫标定，在此情况下，虚拟拱輪廓沿垂直的伸縮縫繪制。对于图式 2（无伸縮縫），假定桥跨結構和支座的分界綫通过拱脚內点以上的垂綫。在第一种情况（图式 1），结构为具有平滑曲綫下緣之刚

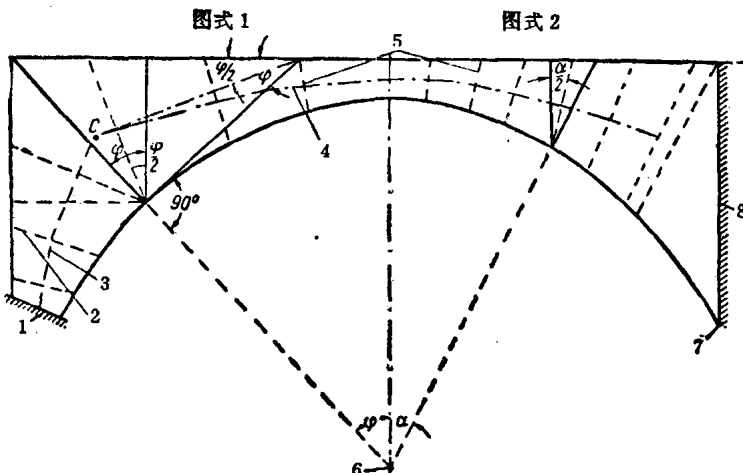


图 2 对桥跨结构两种标定方案之虚拟拱轴线的图解构造  
 1-拱脚；2-立柱部分虚拟拱截面；3-立柱部分轴线；4-梁部分轴线；  
 5-虚拟拱截面；6-轮廓内缘之曲率中心；7-拱脚内点；  
 8-支座同桥跨结构的假定分界线

架，刚架由两个立柱和一根梁组成。

刚架的这些组成部分，其轴线交会于 C 点，并略呈弯折，即虚拟拱在全跨范围内不是一条平滑的曲线。立柱部分轴线近似于直线，而梁部分轴线则为椭圆曲线。立柱部分轴线和梁部分轴线求法相同。

在虚拟拱结构长度上，用确定拱轴线之图解分析法对断面变化规律作了研究。结果确定，按图式 1 标定之系统，其断面随座标  $x$  之函数而近似于直线规律变化，该规律具有一定的使用范围（图 3a），而在梁部分则按二次曲线（椭圆曲线）变化。换言之，对以上两种情况有如下方程式：

$$y = kx + b \quad \text{和} \quad y = c - \sqrt{d^2 - x^2}$$

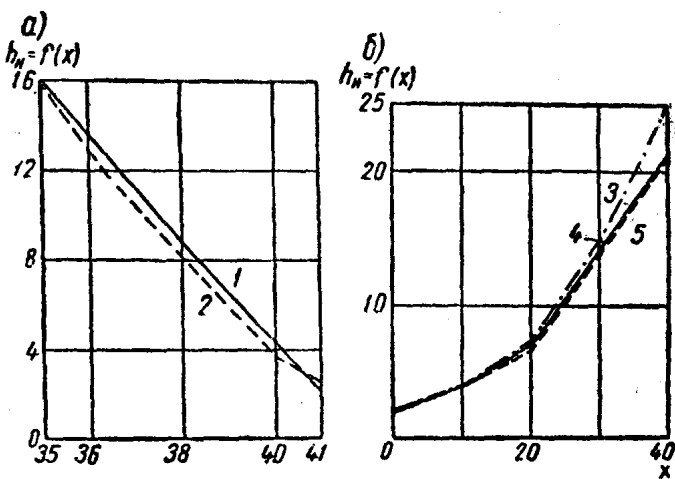


图 3 虚拟截面变化规律

a) 在立柱部分; b) 在梁部分

1—立柱部分沿轴的法线方向之断面高度  $h_H$  按方程  $h_H = 93.1 - 2.22x$  变化;

2— $h_H$  按计算之变化; 3—垂直截面高度按方程式  $h_B = 52.2$

$- \sqrt{50^2 - x^2}$  变化; 4—沿轴的法线方向高度按方程式  $h_H = 57.2$

$- \sqrt{55^2 - x^2}$  变化; 5—取决于法线计算长之  $h_H$

上述方程式的座标原点规定在对称轴(通过拱顶)上，但在不同的高度上，虚拟结构沿轴线的法线方向之断面高度用  $h_H$  表示。对于每一具体情况，确定虚拟拱截面高度方程式中的  $k$ 、 $b$ 、 $c$  和  $d$  的数值，利用确定虚拟拱轴线的图解分析法所得结果，以选择的方法加以决定。

对所论具体情况，立柱部分的高度①方程式有如下形式：

$$h_H = -2.22x + 93.1 \quad \begin{cases} x = 40.9 \text{ 厘米} \\ x = 34.7 \text{ 厘米} \end{cases}$$

对模型的梁部分，断面变化方程式为：

① 计算单位为厘米，因为这里的记载不是虚拟拱的实际数值，而是它的模型，模型比例为 1:50，以后所有计算皆同。

$$h_n = 57.2 - \sqrt{55^2 - x^2} \text{ 厘米}$$

与构成虚拟结构有关的最后计算步骤是选择三次超静定图式的基本体系。为此，需利用弹性中心的概念。对前述两种标定情况，于弹性中心处施加虚拟拱的多余未知量。在划分虚拟结构为楔形块来求弹性中心以及在拟制这一体系时，还将碰到若干特殊問題。

如果拱具有立柱部分（图4图式1），则于立柱与梁接合处，结构輪廓或出現称为共軛楔的三角形缺口，或出現立柱輪廓的一部分重叠于横梁輪廓之上，形成重叠三角楔。对后一种情况，由于施加在附加楔上的弹性荷載  $d w = \frac{ds}{EI}$  相当小，对立柱和梁必須考慮这些具有較大高度  $h_n$  的附加楔。弹性中心先按不足断面（不考慮共軛楔）确定，然后按过盈断面（考慮附加三角楔）确定，就所論例題而言，对两种情况都获得了同样的結果。否則，为了寻求最后的答案，可以采用座标的平均值  $y_c$ 。必須指出，虚拟拱的弹性中心  $C_1$  离拱頂中心的距离約为  $0.16f$ ，即約为自由拱的  $\frac{1}{2}$ 。

在按图式2标定的結構中（图4），假定的計算拱脚可以这样来規定，即拱輪廓線的上半部分伸入支座，相反的，此輪廓線的下半部分則等于支座了，而使拱脚略呈伸出状态。此时計算跨長約等于实际結構淨跨長度。这样标定实际結構所得的  $y_c$  值很小，在所論情況， $y_c = 0.5 \text{ 厘米} = \frac{1}{40} f$ （弹性中心在  $C_2$  点）。

**活載內力影响綫**，如果已知加于虚拟拱頂的多余未知量的影响綫，則实际結構任何截面的活載內力影响綫也就容易确定了。这时假定，前者的影响綫和实际結構拱頂处的影响綫相

图式 1

图式 2

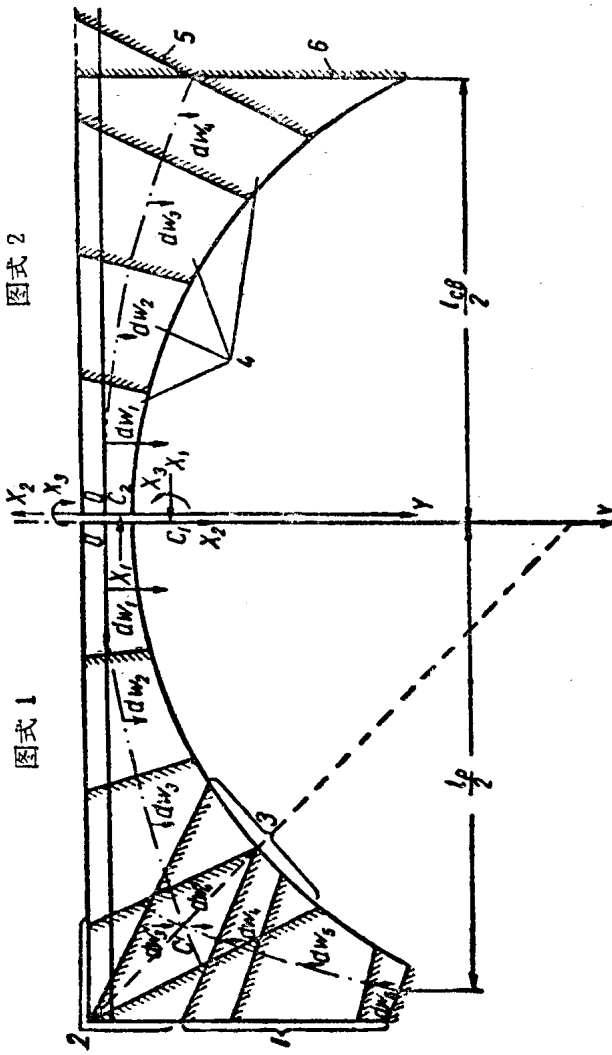


图 4 采用两种标定方案，行车部分时实腹拱桥之基本体系  
 1—立柱部分；2—共轭梁；3—重叠梁；4—确定弹性中心用楔；5—沿轴的法线方向  
 所采用的标线；6—垂直线；C<sub>1</sub>和C<sub>2</sub>—弹性中心

同。未知数  $X_1=H$ 、 $X_2=Q$  和  $X_3=M_c$  的影响线按力法来求，这时在莫尔积分中的位移部分，不仅要考虑弯矩作用引起的位移，而且要考虑  $N$  和  $Q$  引起之位移。计算  $Q$  力之位移时采用：

剪切系数  $\mu_1=1.2$  (断面为矩形) 和  $G=\frac{E_{\text{ex}}}{2(1+\mu)}=\frac{E_{\text{ex}}}{2.9}$ ，假

定波桑系数  $\mu=0.45$ ，弹性模量  $E_{\text{ex}}=\frac{E_{\text{exp}}}{2}$ 。所有这些数据均由专门试验而得。 $O$  点曲率半径不予考虑，因为  $\frac{\rho}{h} > 5$ 。

为证实所求虚拟拱顶理论影响线的正确性，我们用比格斯 (БИГС) 仪测出了这一拱桥模型的试验影响线，对以上两种标定桥跨结构方案都获得了试验数据。图 5 为这些影响线的比较图。由此看出，比较结果是令人满意的。特别是法向力和切向力的影响线，两者符合程度更好 (误差  $\leq 10\%$ )。弯矩影响线的精度稍差，但误差也不算大 (平均为  $15\%$ )。总的来看，按理论影响线求出的内力比试验数据略大。由此可以证明，这里所述绘制实肩拱桥内力影响线的计算方法是可行的。

对于两种被研究的系统来说，在计算虚拟拱模型的挠度时，上述推荐的计算方法得到了验证。用前述方法确定系统断面内力后，即用莫尔法确定其挠度，并考虑  $M$ 、 $N$  和  $Q$  作用引起之位移的影响。这样，我们就能满意地绘出虚拟拱个别节点的理论挠度影响线。接着把单位荷载加在模型上，用显微镜测量其位移。通过试验方法也测出了同样的挠度影响线。

把影响线加工整理后可得两半拱拱顶的最大挠度图。以后我们只限于引证最大挠度图形。至于挠度影响线则需指出下列几点：

1) 对于第一种标定法，理论和试验数值的比较结果很好，

图式 2

图式 1

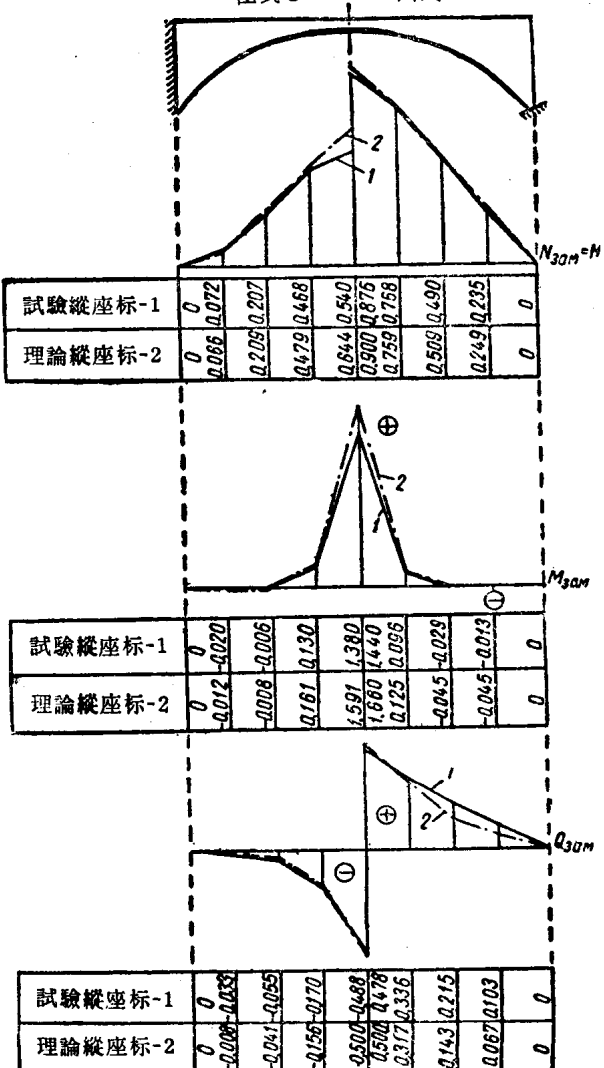


图 5 按图式 1 和 2 标定之虚拟拱顶面影响线

特別當挠度數值較大時符合程度最好（誤差從5到20%）。當挠度數值較小時，個別情況的誤差有達50%者。若就其影響線面積的平均值比較，則誤差只有15%。這一標定方案的特點是拱頂處影響線沒有負值，而其餘影響線面積則有負面積；

2)對於第二種標定法，所有影響線都沒有負面積。理論和試驗數值的符合程度比第一種標定法差些（最大縱座標誤差從5到30%）。兩者影響線的形狀相同。

對於兩種標定圖式，標有理論及試驗縱座標值的最大撓度圖見圖6。從第一圖式的撓度圖中看到，最大正撓度向跨中，大約按直線規律遞增。撓度最大值在0—2'節間❶。第二圖式之撓度圖的特點是沒有負面積。正面積為凹形曲線形，撓度

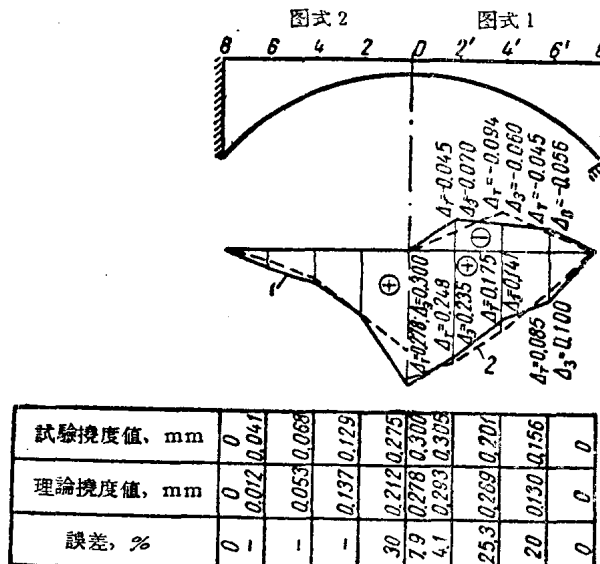


圖6 按第1和第2圖式標定的相應于單位荷載的最大撓度圖  
1-試驗曲線；2-理論曲線

❶ 此處原文為0—2節間，疑為0—2'節間之誤——編輯注。

图面积的比較誤差約為20%。必須指出，挠度影响綫及最大挠度图都是相应于  $P = 1$  公斤时的数据。

这样，用挠度驗証的結果也証明，本书推荐的計算方法具有足够的可靠性。

$e$  曲綫。在研究各种体系拱桥影响綫的过程中，作者认为有必要繪制一条新曲綫，使其标明通过拱截面合压力作用点的偏心距  $e$  如何变化。如果已知相应截面的  $N$  和  $M$  之影响綫，则很容易求出这条曲綫，曲綫纵座标  $y_e = \frac{M}{N}$ 。遺憾地是，力的叠加原理对这条曲綫的纵座标不适用，所以該曲綫不是影响綫。但是，这条曲綫可供各种比較体系进行个别比較之用。如果除  $y_e = \frac{M}{N}$  图形外，再于基綫上加一个从正面描繪拱核心边界的长方形，则在图上可以看出，当有一个集中力作用时，压力曲綫位在什么地方，以及它离开拱軸綫多少距离，合力是否在断面核心范围以内。为了对相同跨长，相同外伸长度，但外形及計算断面厚度不同之拱桥作比較，建議以当量偏心距  $\eta = \frac{6y_e}{h_1}$  代替曲綫  $e$ 。这里  $h_1$ ——該断面高度。图 7 是自由拱和考慮拱上实体断面为两种标定情况(即按图式 1 和 2 )的  $\eta$  曲綫。从图中看到，在两种情况下，自由拱都比考慮拱上建筑的拱所处条件要差。

溫度影响。实体拱上建筑肯定地影响到拱內活載应力，虽然这一应力有所降低，但增加了溫度应力。考慮拱上建筑的作用时，结构的刚性增强了，因而产生了較高的溫度应力。在考慮溫度对拱之影响时，溫度推力  $H_t$  为基本計算力。知道了溫度推力，就很容易計算截面內力  $N_t$ 、 $Q_t$  和  $M_t$ 。溫度推力  $H_t$  作用于弹性中心，并等于：